

Algorithmes de multiplication scalaire réguliers et efficaces

Alexandre VENELLI

09/12/2010
Séminaire ATI



**DRIVING
TRUST**



Sommaire

- Cryptosystèmes à base de courbes elliptiques (ECC)
- Attaques par canaux cachés sur ECC
- Algorithmes classiques de multiplication scalaire résistants aux attaques par canaux cachés
- Propositions d'algorithmes efficaces et résistants

Courbes elliptiques

- On ne considère que les courbes sous forme de Weierstrass simplifiée comme spécifié dans les normes internationales (FIPS, ANSI, SEC)
- Courbe elliptique définie sur un corps de caractéristique 2 :

$$E: y^2 + xy = x^3 + ax^2 + b \quad (a, b \in GF(2^n), b \neq 0)$$

- Courbe elliptique définie sur un corps de grande caractéristique :

$$E: y^2 = x^3 + ax + b \quad (a, b \in GF(p), 4a^3 + 27b^2 \neq 0, p > 3)$$

Opérations sur les points

- Soit $P_1 = (x_1, y_1), P_2 = (x_2, y_2), P_3 = (x_3, y_3) \in E$
- Doublement de point (ECDBL) : $P_3 = P_1 + P_1 = 2P_1$
- Addition de points (ECADD) : $P_3 = P_1 + P_2 \quad (P_1 \neq P_2)$
- Sur $GF(p)$, avec des coordonnées projectives jacobiennes :
 - ECDBL = 1M+8S
 - ECADD = 11M+5S
- Sur $GF(2^n)$, avec des coordonnées projectives López-Dahab :
 - ECDBL = 3M+5S
 - ECADD = 13M+4S
- Référence : <http://www.hyperelliptic.org/EFD/>

Hiérarchie des opérations ECC

Protocole ECC

ECDSA, ECDH, ...

Opération points EC

Multiplication scalaire : kP
Opération fondamentale qui consomme souvent le plus de temps

ECADD / ECDBL

Addition de points
Doublement de point

Opérations sur le corps fini

GF addition : $a + b \text{ mod } p$
GF soustraction : $a - b \text{ mod } p$
GF multiplication : $a * b \text{ mod } p$
GF inverse : $1 / a \text{ mod } p$

Multiplication scalaire classique

- Multiplication scalaire : kP
 - Doublement-et-addition $P \in E$, $k = \underbrace{(k_{n-1} \cdots k_0)}_2, k_{n-1} = 1$
représentation binaire
 - 1. $Q \leftarrow P$
 - 2. Pour $i = n-2$ jusqu'à 0
 - $Q \leftarrow 2Q$ ECDBL
 - si $k_i = 1$ alors $Q \leftarrow Q + P$ ECADD
 - 3. Retourner Q

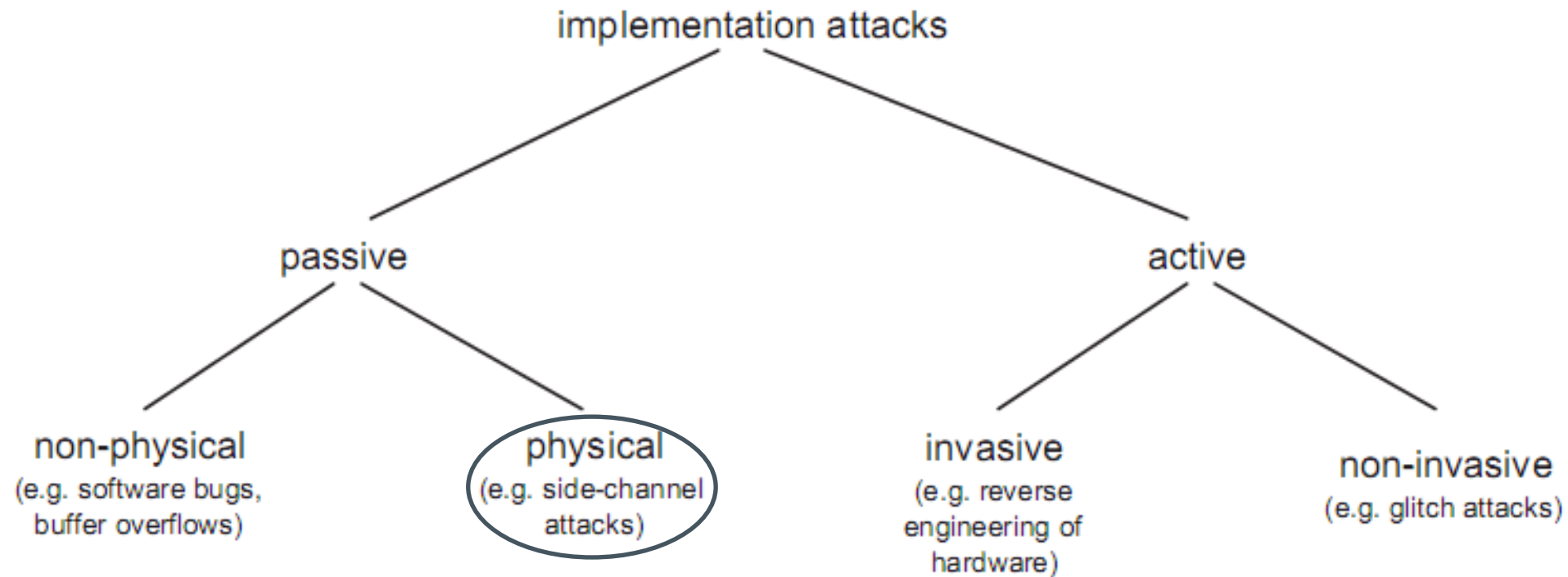
Addition « simplifiée »

- Aussi appelée addition co-Z
- Soit $P_1 = (X_1, Y_1, \boxed{Z})$, $P_2 = (X_2, Y_2, \boxed{Z}) \in E$

$$\text{ZADDU}(P_1, P_2) \rightarrow (\tilde{P}_1, P_1 + P_2) \text{ avec } Z_{\tilde{P}_1} = Z_{P_1 + P_2}$$

- Sur $\text{GF}(p)$, coordonnées projectives jacobiennes :
 - ZADDU = 5M+2S (Méloni 2007)
- Sur $\text{GF}(2^n)$, coordonnées projectives jacobiennes :
 - ZADDU = 7M+2S (Venelli et al. SAR-SSI 2010)
- Ne peut pas être utilisé tel quel dans un algorithme de multiplication scalaire

Attaques matérielles



Familles d'attaques par canaux cachés

- **Attaques par analyse simple de courant (SPA)**
L'attaquant observe la consommation de courant du composant lors d'un calcul cryptographique et retrouve la clé secrète
- **Attaques par analyse différentielle de courant (DPA)**
L'attaquant observe plusieurs courbes de consommation et retrouve le secret à l'aide d'outils statistiques
- **Attaques par injection de faute (FA)**
L'attaquant utilise des résultats de calculs corrects, des résultats faux dus à une injection de faute et l'endroit précis où la faute a été effectuée pour retrouver le secret

SPA sur ECC (Coron 1999)

Algorithme 2: *Left-to-right* doublement-et-addition

Entrées : $P \in E$ et $k = (k_{n-1} \dots k_1 k_0)_2$

Sorties : $[k]P \in E$

```
1  $P_0 \leftarrow \mathcal{O}$ 
2  $P_1 \leftarrow P$ 
3 pour  $i \leftarrow n - 1$  a 0 faire
4    $P_0 \leftarrow [2]P_0$  ECDBL
5   si  $k_i = 1$  alors
6      $P_0 \leftarrow P_0 + P_1$  ECADD
7 retourner  $P_0$ 
```

Consommation de courant
des opérations ECC

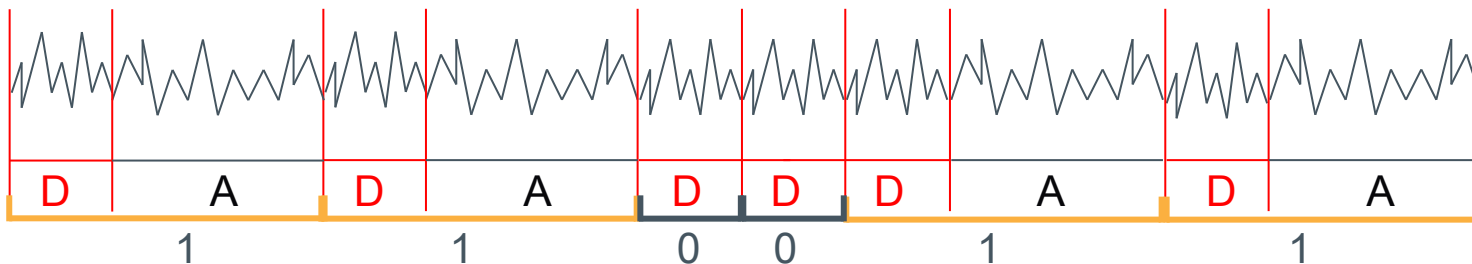
- **ECDBL**



- **ECADD**



Ex : $51P = (110011)_2 P$



Contre-mesures SPA

- **Rendre ECADD et ECDBL indistinguables**
 - Formules unifiées pour les courbes sous forme de Weierstrass simplifiée : très coûteuses
 - Utiliser des familles de courbes spécifiques (Jacobi, Hesse, Edwards, Huff) : pas utilisable dans notre cas
- **Utiliser un algorithme de multiplication scalaire régulier**
 - Doublement-et-toujours-addition (Coron 1999)
 - Doublement-et-addition atomique (Chevallier-Mames et al. 2004)
 - Chaînes d'addition Euclidiennes (Méloni 2007)
 - Echelle de Montgomery (Montgomery 1987, Brier et al. 2002)
 - Doublement-et-addition de Joye (Joye 2007)



Rendre ECADD et ECDBL indistinguables

Formules unifiées sur courbes Weierstrass simplifiée

- Avoir un même algorithme pour calculer ECADD et ECDBL
- Brier et al. 2004 :
 - Sur corps de grande caractéristique
 - 16M+3S en coord. proj stand
- Problèmes :
 - Coûteux
 - Attaques par canaux cachés ont été proposées

Familles de courbes

sur corps de large caractéristique

- Hesse
 - Point d'ordre 3
 - 12M (Farashahi et al. 2010)
- Jacobi
 - Point d'ordre 2
 - 10M+3S (Billet et al. 2003)
- Edwards
 - Point d'ordre 4 / Point d'ordre 2 (Edwards tordu)
 - 10M+1S (Bernstein et al. 2008)
- Huff
 - Point d'ordre 4
 - 12M (Joye et al. 2010)

Familles de courbes

sur corps de caractéristique 2

- Edwards
 - Toute courbe elliptique
 - $18M+2S+7D$ ou $21M+1S+4D$ (Bernstein et al. 2008)
- Huff
 - Toute courbe elliptique (generalized binary Huff curves)
 - $15M+3S+2D$ (Joye et al. 2010)
 - unifiée mais complète seulement pour certains sous-groupes de points (notamment ceux utilisés en crypto)
- Modèle de Wu et al. 2010 (<http://eprint.iacr.org/2010/608>)
 - Point d'ordre 4
 - $12M+4S+2D$ ou $13M+2D$



***Utiliser un algorithme de multiplication scalaire
régulier***

Doublement-et-toujours-addition (Coron 1999)

Algorithme 7: Doublement-et-toujours-addition

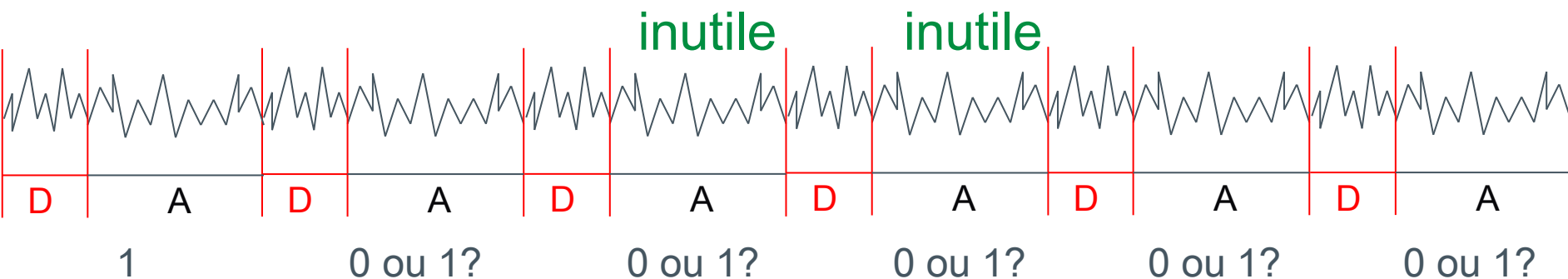
Entrées : $P \in E$ et $k = (k_{n-1} \dots k_1 k_0)_2$

Sorties : $[k]P \in E$

- 1 $P_0 \leftarrow \mathcal{O}$
- 2 $P_1 \leftarrow P$
- 3 pour $i \leftarrow n - 1$ à 0 faire
- 4 $P_0 \leftarrow [2]P_0$ **ECDBL**
- 5 $P_1 \leftarrow P_0 + P$ **ECADD**
- 6 $P_0 \leftarrow P_{k_i}$
- 7 retourner P_0

Ex :

$$51P = (110011)_2 P$$



Doublement-et-addition atomique (Chevallier-Mames et al. 2004)

- Principe : construire ECADD et ECDBL en répétant un motif fixé d'opérations du corps de base afin de rendre ECADD et ECDBL indistinguables
- Résistant aux SPA
- Problème : beaucoup d'opérations inutiles sont ajoutées
- Faiblesse : sensible aux FA

Chaînes d'addition Euclidiennes (Méloni 2007)

- Algorithme de multiplication scalaire + Addition co-Z
 - Représenter le scalaire de manière différente (EAC)

- Ex : Soit $k=34$, $g=19$ premier à k
 $EAC(34, 19) = (1, 2, 3, 4, 7, 11, 15, 19, 34)$

$$34 - 19 = 15 \quad (\text{big step})$$

$$19 - 15 = 4 \quad (\text{small})$$

$$15 - 4 = 11 \quad (\text{small})$$

$$11 - 4 = 7 \quad (\text{big})$$

$$7 - 4 = 3 \quad (\text{big})$$

$$4 - 3 = 1 \quad (\text{small})$$

$$3 - 1 = 2$$

$$2 - 1 = 1$$

$$1 - 1 = 0$$

Chaînes d'addition Euclidiennes (2)

- Avantages :
 - Permet d'utiliser la formule d'addition co-Z pour un algorithme de multiplication scalaire
 - Algorithme qui est résistant aux attaques SPA (on n'utilise pas de ECDBL)
- Inconvénients :
 - Convertir un entier dans une représentation EAC courte n'est pas facile
 - Performances de l'algorithme de multiplication scalaire sont donc impactées

Familles d'attaques par canaux cachés

- **Attaques par analyse simple de courant (SPA)**

L'attaquant observe la consommation de courant du composant lors d'un calcul cryptographique et retrouve la clé secrète

- **Attaques par analyse différentielle de courant (DPA)**

L'attaquant observe plusieurs courbes de consommation et retrouve le secret à l'aide d'outils statistiques

- **Attaques par injection de faute (FA)**

L'attaquant utilise des résultats de calculs corrects, des résultats faux dus à une injection de faute et l'endroit précis où la faute a été effectuée pour retrouver le secret

DPA sur ECC

- Soit k un scalaire fixé, soit P un point / message qu'un attaquant peut fixer
 - Ex : EC ElGamal, EC Diffie-Hellman, ...
- La consommation de courant d'un algorithme comme doublement-et-toujours-addition **semble** identique, mais il existe de faibles différences
- Ces différences sont liées à la valeur des bits de la représentation de P et du scalaire k

Contre-mesures DPA

- Contre-mesures indépendantes du choix de l'algorithme de multiplication scalaire
- Techniques principales :
 1. Modifier le scalaire
 - **Randomisation,**
 - **Découpage aléatoire, ...**
 2. Modifier le point de base
 - **Randomisation des coordonnées projectives,**
 - **Isomorphismes de courbes aléatoires,**
 - **Isomorphismes de corps aléatoires, ...**

Découpage aléatoire du scalaire

- Découpage 'additif', Clavier et al. 2001 :

$$kP = (k - r)P + rP$$

- Découpage 'multiplicatif', Trichina et al. 2002 :

$$kP = (kr^{-1})(rP)$$

- Découpage 'euclidien', Ciet et al. 2003 :

$$kP = (k \bmod r)P + \lfloor k / r \rfloor (rP)$$

Randomisation des coordonnées projectives (Coron 1999)

- Soit $P = (X, Y, Z)$ en coordonnées projectives jacobiniennes
- On a $(X, Y, Z) \cong (\lambda^2 X, \lambda^3 Y, \lambda Z)$ pour $\lambda \in \mathbb{K}^*$
- On peut modifier la représentation de P de manière aléatoire

Familles d'attaques par canaux cachés

- **Attaques par analyse simple de courant (SPA)**
L'attaquant observe la consommation de courant du composant lors d'un calcul cryptographique et retrouve la clé secrète
- **Attaques par analyse différentielle de courant (DPA)**
L'attaquant observe plusieurs courbes de consommation et retrouve le secret à l'aide d'outils statistiques
- **Attaques par injection de faute (FA)**
L'attaquant utilise des résultats de calculs corrects, des résultats faux dus à une injection de faute et l'endroit précis où la faute a été effectuée pour retrouver le secret

Doublement-et-toujours-addition

Algorithme 7: Doublement-et-toujours-addition

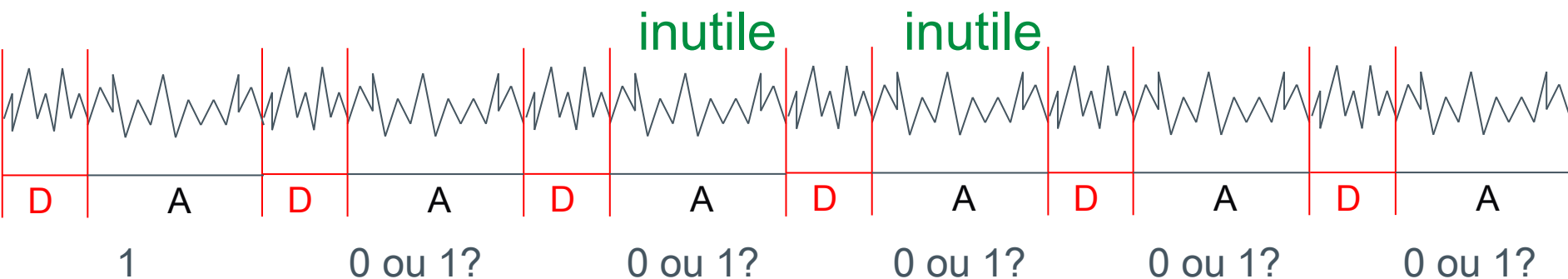
Entrées : $P \in E$ et $k = (k_{n-1} \dots k_1 k_0)_2$

Sorties : $[k]P \in E$

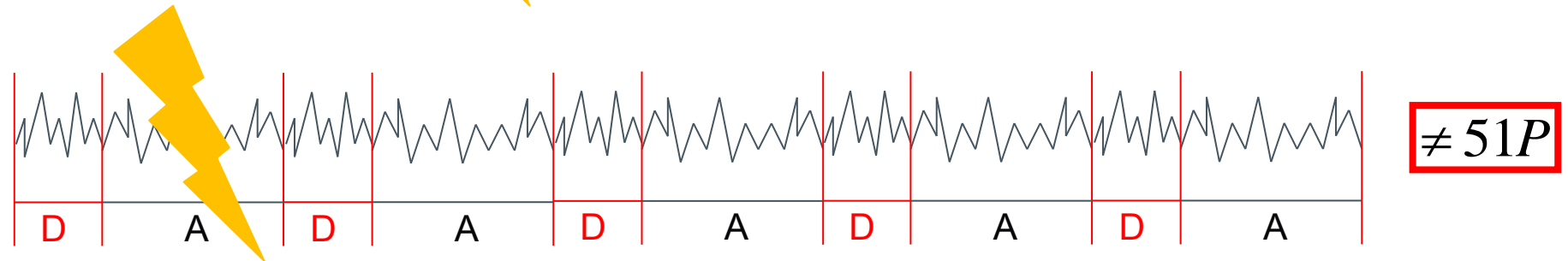
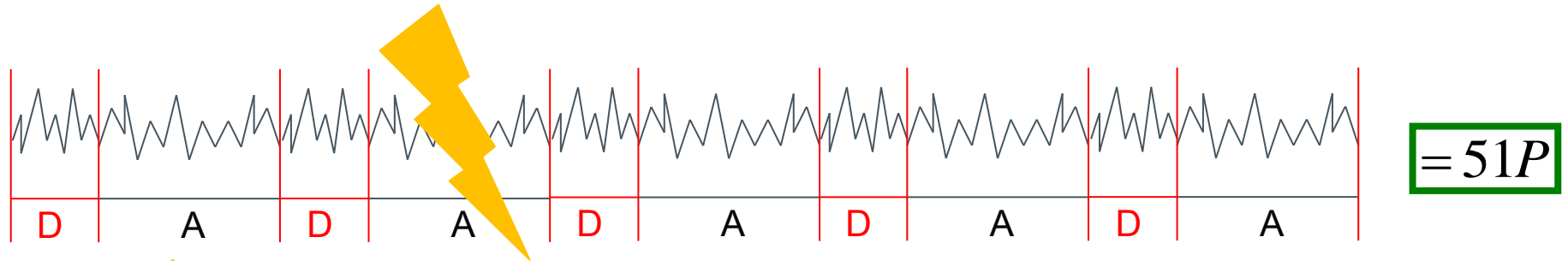
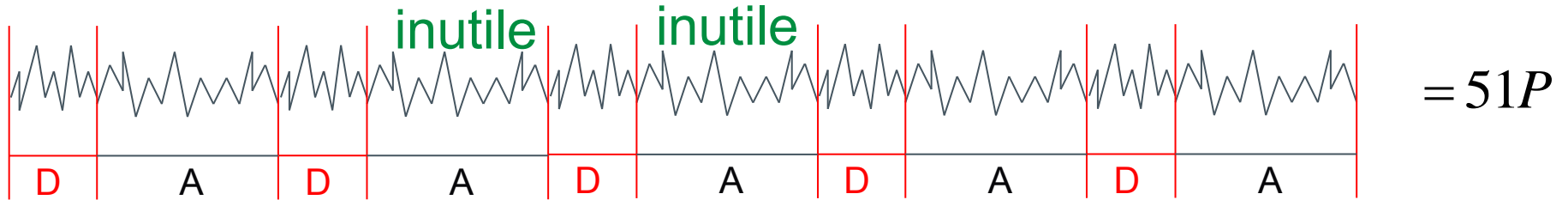
- 1 $P_0 \leftarrow \mathcal{O}$
- 2 $P_1 \leftarrow P$
- 3 pour $i \leftarrow n - 1$ à 0 faire
- 4 $P_0 \leftarrow [2]P_0$ **ECDBL**
- 5 $P_1 \leftarrow P_0 + P$ **ECADD**
- 6 $P_0 \leftarrow P_{k_i}$
- 7 retourner P_0

Ex :

$$51P = (110011)_2 P$$



Résistant aux SPA mais pas aux FA



Contre-mesures FA

- Vérifier que le point, résultat de la multiplication, est *valide* :
 - P n'est pas le point à l'infini
 - Les coordonnées de P sont bien des éléments du corps de base
 - P satisfait l'équation de la courbe
 - Vérifier $nP = \infty$ avec n le cardinal du sous-groupe premier utilisé
- Faire en sorte que tous les résultats intermédiaires soient utilisés pour le calcul du résultat final
 - faute injectée → résultat faux dans tous les cas
 - dépend de l'algorithme choisi

Echelle de Montgomery

Algorithme

Algorithme 9: Échelle de Montgomery

Entrées : $P \in E$ et $k = (k_{n-1} \dots k_1 k_0)_2$

Sorties : $[k]P \in E$

1 $P_0 \leftarrow \mathcal{O}$

2 $P_1 \leftarrow P$

3 **pour** $i \leftarrow n - 1$ **a** 0 **faire**

4 $\left[\begin{array}{l} P_{\bar{k}_i} \leftarrow P_{\bar{k}_i} + P_{k_i} \end{array} \right.$

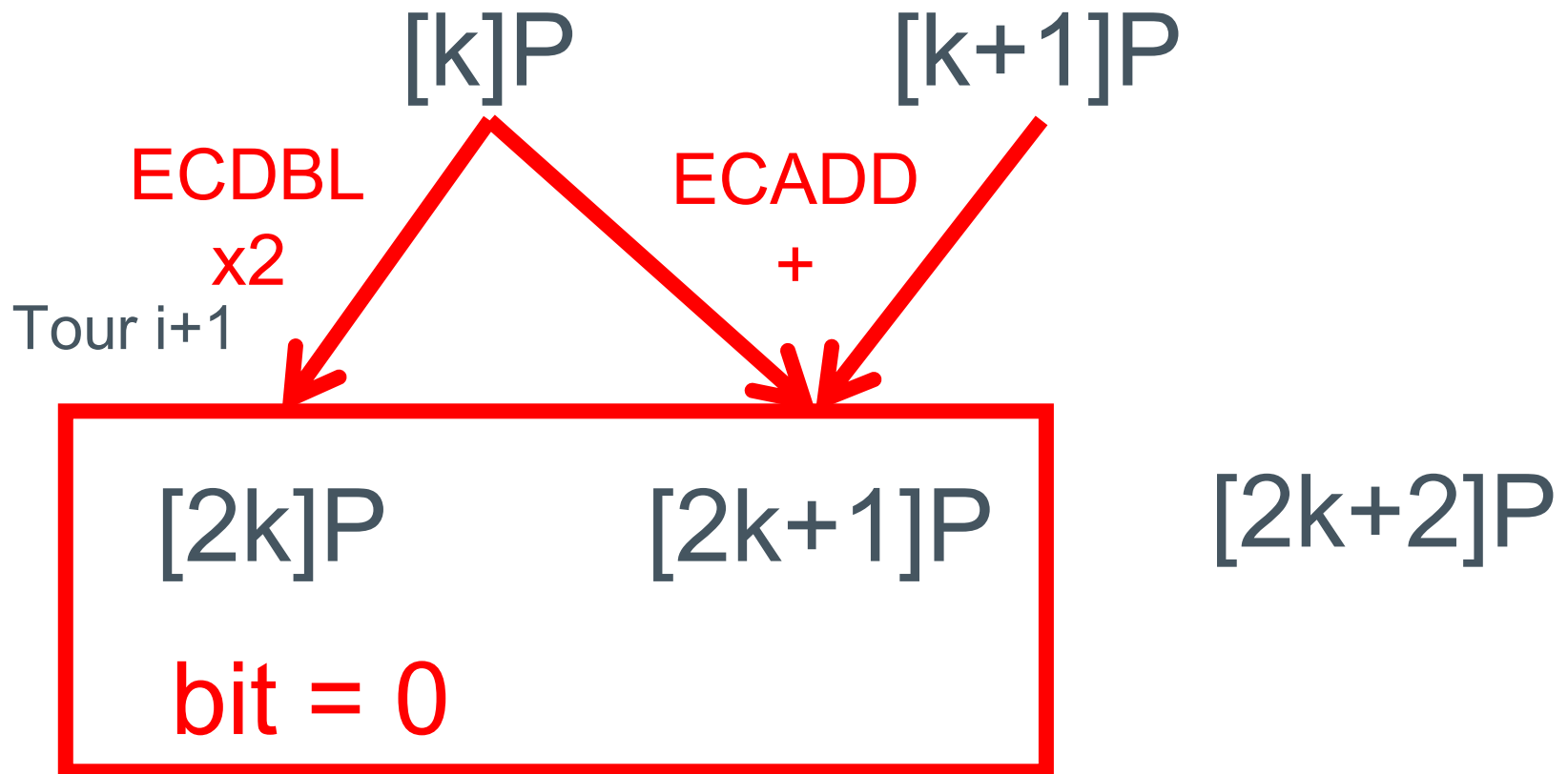
5 $\left[\begin{array}{l} P_{k_i} \leftarrow [2]P_{k_i} \end{array} \right.$

6 **retourner** P_0

Echelle de Montgomery

Principe (1)

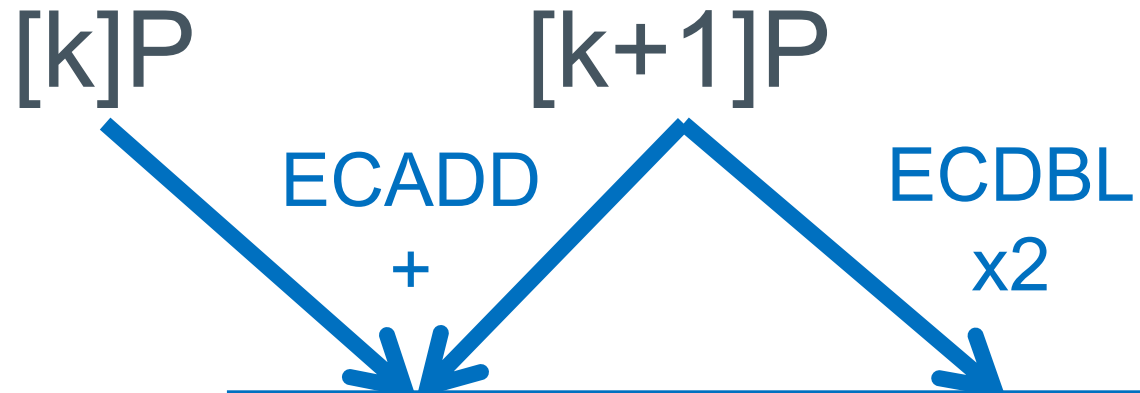
Tour i



Echelle de Montgomery

Principe (2)

Tour i



Doublement-et-addition de Joye

Algorithme 10: Doublement-et-addition de Joye

Entrées : $P \in E$ et $k = (k_{n-1} \dots k_1 k_0)_2$

Sorties : $[k]P \in E$

- 1 $P_0 \leftarrow \mathcal{O}$
- 2 $P_1 \leftarrow P$
- 3 **pour** $i \leftarrow 0$ **a** $n - 1$ **faire**
- 4 $P_{\bar{k}_i} \leftarrow [2]P_{\bar{k}_i}$
- 5 $P_{\bar{k}_i} \leftarrow P_{\bar{k}_i} + P_{k_i}$
- 6 **retourner** P_0

Equivalent de l'échelle de Montgomery de « droite à gauche »

Proposition

(Venelli et al. Geocrypt 2009)

- Combiner l'échelle de Montgomery avec l'addition co-Z (ZADDU) de Méloni pour obtenir un algorithme résistant et efficace
- Problème :
 - L'échelle de Montgomery effectue un ECDBL à chaque tour
 - Le tour suivant, si on utilise ZADDU, il faut que les coordonnées Z des deux points soient égales
 - Modifier la sortie de ECDBL en conséquence est beaucoup trop coûteux
- Solution : supprimer ECDBL, n'utiliser que des additions

Remplacer ECDBL

- Un tour de l'échelle de Montgomery :

$$P_{\bar{k}_i} \leftarrow P_{\bar{k}_i} + P_{k_i} \quad \text{et} \quad P_{k_i} \leftarrow [2]P_{k_i}$$

- On peut remplacer ECDBL par : $(P_{k_i} + P_{\bar{k}_i}) + (P_{k_i} - P_{\bar{k}_i})$
- Soit T une variable temporaire. On obtient le tour de boucle :

$$\begin{aligned} T &\leftarrow P_{k_i} - P_{\bar{k}_i} \\ P_{\bar{k}_i} &\leftarrow P_{\bar{k}_i} + P_{k_i} && \text{ECADD (1)} \\ P_{k_i} &\leftarrow P_{\bar{k}_i} + T && \text{ECADD (2)} \end{aligned}$$

Echelle de Montgomery modifiée

Algorithme

Algorithme 11: Échelle de Montgomery avec additions

Entrées : $P \in E$ et $k = (k_{n-1} \dots k_1 k_0)_2$

Sorties : $[k]P \in E$

- 1 $P_0 \leftarrow \mathcal{O}$
- 2 $P_1 \leftarrow P$
- 3 pour $i \leftarrow n - 1$ à 0 faire
- 4 $P_0 \leftarrow P_0 + P_1$
- 5 $P_1 \leftarrow P_0 + (-1)^{\bar{k}_i} P$
- 6 retourner P_1

Echelle de Montgomery modifiée

Principe (1)

Tour i

$[k]P$ $[k+1]P$

ECADD

+

Tour i+1

$[2k]P$ ← $[2k+1]P$

$-P$

bit = 0

$[2k+2]P$

Echelle de Montgomery modifiée

Principe (2)

Tour i

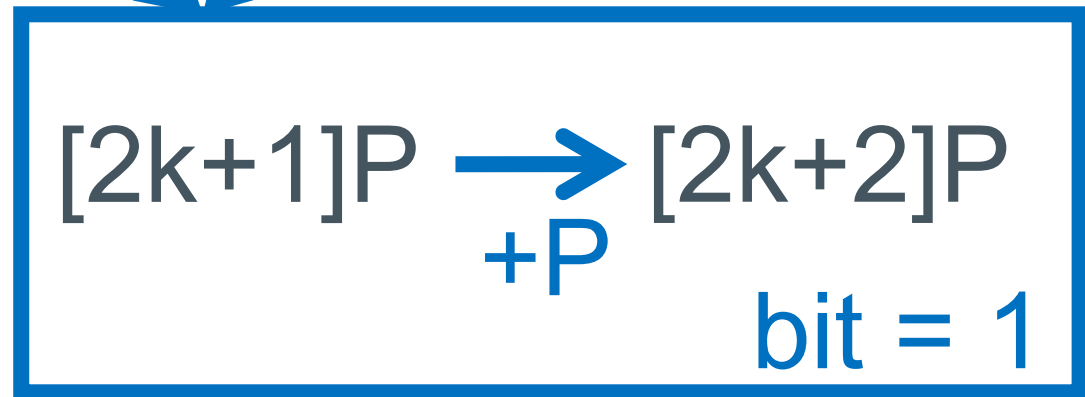
$[k]P$ $[k+1]P$

ECADD

+

Tour i+1

$[2k]P$



Modifier l'addition co-Z

- Problème : il faut un point P avec la coordonnée Z correcte à chaque tour
- Solution : modifier l'addition ZADDU afin de calculer en même temps la soustraction de deux points tel que

$$\boxed{\begin{array}{l} ZADDC \rightarrow (\tilde{P}_1, P_1 + P_2, P_1 - P_2) \\ \text{avec } Z_{\tilde{P}_1} = Z_{P_1+P_2} = Z_{P_1-P_2} \end{array}}$$

Complexités

	GF(p)	GF(2 ⁿ)
ZADDU	5M+2S	7M+2S
ZADDC	6M+3S	11M+2S

Proposition d'algorithme 1

Algorithme 12: Échelle de Montgomery avec ZADDC

Entrées : $P \in E$ et $k = (k_{n-1} \dots k_1 k_0)_2$

Sorties : $[k]P \in E$

1 $P_0 \leftarrow [2]P$

2 $P_1 \leftarrow P$

// On suppose $Z_{P_0} = Z_{P_1}$

3 pour $i \leftarrow n - 2$ a 0 faire

4 $(Q_0, Q_1, Q_2) \leftarrow \text{ZADDC}(P_{k_i}, P_{\bar{k}_i})$

5 $P_{\bar{k}_i} \leftarrow Q_1$

6 $P_{k_i} \leftarrow Q_2$

7 $(Q_0, Q_1, Q_2) \leftarrow \text{ZADDC}(P_{\bar{k}_i}, P_{k_i})$

8 $P_{k_i} \leftarrow Q_0$

9 $P_{\bar{k}_i} \leftarrow Q_1$

10 retourner P_1

/ $P_{\bar{k}_i} \leftarrow (P_0 + P_1)$ */*
/ $P_{k_i} \leftarrow (P_{k_i} - P_{\bar{k}_i}) = \pm P$ */*

/ $P_{k_i} \leftarrow \tilde{P}_{\bar{k}_i}$ */*
/ $P_{\bar{k}_i} \leftarrow P_0 + P_1$ */*

Un travail équivalent à cette proposition a été publié par Goundar et al. dans CHES 2010 uniquement pour GF(p).

Proposition d'algorithme 2

- Uniquement sur un corps de grande caractéristique
- On peut **ne pas** calculer la coordonnée Z tout au long de l'algorithme
- La coordonnée Z du point final est recalculée lors du dernier tour de l'algorithme pour un coût de $5M+1I$
- Les complexités des algorithmes ZADDU et ZADDC deviennent :
 - $ZADDU_{woZ} = 4M+2S$
 - $ZADDC_{woZ} = 5M+3S$

Recalculer Z au dernier tour (1)

- A chaque tour, on calcule un $\tilde{P} = (\tilde{X}, \tilde{Y}, \tilde{Z})$
- On sauvegarde le $P = (X, Y, Z)$ de départ
- On peut retrouver facilement

$$\tilde{Z} = \frac{ZX\tilde{Y}}{\tilde{X}Y}$$

Recalculer Z au dernier tour (2)

```
// Dernier tour
(Q0, Q1, Q2) ← ZADDCwoZ(P0, P1)
Pk̄i ← Q1
Pki ← Q2
// Calcul de Zfinal
Zfinal ← XP1 · YPsave
Zfinal ← (Zfinal)-1
Zfinal ← Zfinal · YP1
Zfinal ← Zfinal · XPsave
Zfinal ← Zfinal · ZPsave
Zfinal ← (Zfinal · (XP1 - XP0))
(Q0, Q1, Q2) ← ZADDCwoZ(Pk̄i, Pki)
Pki ← Q0
Pk̄i ← Q1
P1 ← [XP1, YP1, Zfinal]
```

Comparaison de performances sur $GF(2^n)$

Algorithmes	Complexités (pour un bit de scalaire)
ML Basique	16M+9S \approx 25M
ML X-only	6M+5S \approx 11M
D&A + Edwards	27M+3S \approx 30M
D&A + Huff	22,5M+4,5S \approx 27M
ML+ZADDC+ZADDU (Prop. 1)	18M+4S \approx 22M

Comparaison de performances sur GF(p)

Algorithmes	Complexités (pour un bit de scalaire)
ML Basique	12M+13S \approx 25M
ML X-only	9M+7S \approx 16M
ML+ZADDU+ZADDC (Prop. 1)	11M+5S \approx 16M
ML+ZADDUwoZ+ZADDCwoZ (Prop. 2)	9M+5S \approx 14M

Conclusion

- Sur $GF(p)$, notre proposition 2 permet d'obtenir l'algorithme de multiplication scalaire le plus efficace en considérant ce niveau de sécurité et pour toute courbe elliptique.
- Sur $GF(2^n)$, notre proposition est loin derrière ML X-only en terme de performances.
- Challenge : trouver une alternative à ML X-only sur $GF(2^n)$ qui offre de meilleures performances pour le même niveau de sécurité pour toutes courbes elliptiques.

Merci de votre attention



Contact : avenelli@insidefr.com